

Controlli Automatici - esercitazione 05 ; ore: 10 : 25

(1)

a) Traduzione specifiche

1) Rapporto di scala

Si ha $K_d = 2$; dalla teoria, è noto che:

$$K_d = \frac{L}{H} = \frac{L}{G_d G_t} ; \quad G_d = \frac{L}{K_d G_t} = \frac{L}{2 \cdot 1} = 0,5 ;$$

2) $|e_\infty| = 0$ ma, dalla teoria, $e_\infty = \lim_{s \rightarrow 0} s \cdot Y_d(s)$.

$$\Rightarrow \lim_{s \rightarrow 0} s \cdot Y_d(s) = \lim_{s \rightarrow 0} s \cdot \frac{Y_d}{G_p(s)} = \lim_{s \rightarrow 0} \frac{s}{s + \frac{K_d}{S_r} \cdot G_t \cdot A \cdot G_p \cdot G_d} = 0$$

Perché il limite tenda a 0, il DEN. deve divergere. Poiché

$L = o(G_p(s))$ per $s \rightarrow 0$, affinché $|e_\infty| \rightarrow 0$ per $s \rightarrow 0$, $r = L$:

il controllore deve avere un polo in $s=0$.

Si noti che, poiché $r=L$ e G_p ha un polo in $s=0$, $G_d(s)$ ha due poli nell'origine; il sistema è di tipo "2".

3) $|e_\infty| \leq 6 \cdot 10^{-4}$, dove $d(t) = d_2 \sin(\omega_2 t)$, $d_2 \leq 6 \cdot 10^{-2}$, $\omega_2 \leq 10\pi \text{ rad/s}$.

Dalla carta semi-logaritmica, si può ricavare che:

$$\omega_1 = 10^2 \text{ rad/s}; \quad \omega_2 = 10^3 \text{ rad/s}; \quad \underline{\omega_{cdes} \in [2\omega_1; \omega_2]}; \quad -41,64 \text{ dB}$$

Si sceglie, da qui, una ω_{cdes} .

Interessante potrebbe essere $\omega = 590 \text{ rad/s}$: $\underline{1.1 = 0}$

~~Questa è la frequenza di oscillazione.~~

Prima di discutere il controllore, si traducono altre specifiche (traslato).

4) $\delta \leq 8^\circ$ ^{da grafici} $\rightarrow \xi \approx 0,63, T_p \leq 1,24, S_r \leq 1,33$;

mediante le formule, si può ricavare dunque che:

$$\left\{ \begin{array}{l} m_G = 12,2 \text{ dB} \\ m_\alpha = 586^\circ \end{array} \right\} \xrightarrow{5) \text{ Per } r(t)=1, t \geq 0, |u(t)| \leq 12 \text{ Vt} \geq 0}$$

$$A K_c \frac{m_d}{m_i} R_o = u_{max} \rightarrow \left| \frac{m_d}{m_i} \right| \leq \frac{u_{max}}{A K_c R_o} \cdot \frac{12}{3 \cdot L \cdot 1} = 4$$

Supponendo di avere $\xi = 0,63$, mediante i grafici, - per cui $\omega_c = 500 \text{ rad/s}$, si propongono le seguenti stime:

$$t_{\text{ss}} * \omega_c = 2,03 \rightarrow t_{\text{ss}} = \frac{2,03}{500} = 4,06 \cdot 10^{-3} \text{ s} ; (4,06 \text{ ms})$$

$$t_{\text{d}5\%} * \omega_c = 3,3 \rightarrow t_{\text{d}5\%} = \frac{3,3}{500} = 6,6 \cdot 10^{-3} \text{ s} ; (6,6 \text{ ms})$$

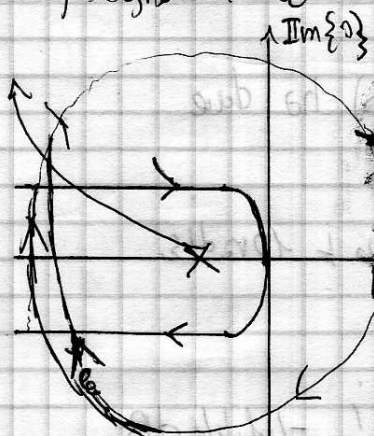
b) Progetto del controllore

L'introduzione di un polo in $G_C(s)$ permette l'uso di una rete P.I. Si sceglie dunque di usarla.

Si noti che K_C è libera, a meno di non "sfiorare" nel vincolo di $a_2 \sin(\omega_t)$, imponendo, per $\omega = \omega_c \text{ rad/s}$, che $G_A(s)$ valga almeno 40 dB in modulo.

Si parte con il progetto di $G_C(s)$.

1) Segno di K_C

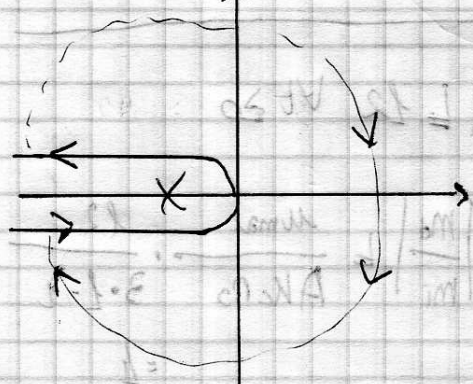


Si può osservare che il punto critico si trova nel semipiano sinistro del dominio s , semipiano in cui, nel caso della presente funzione di anello, sarà possibile effettuare il loop shaping: aumentando $|K_C|$ si tenderà verso "0", diminuendolo si allontanerà dall'origine. In seguito al progetto si mostrerà come il loop shaping agisca su G nel piano di Nyquist. " $K_C > 0$ ".

2) Progetto rete P.I. / derivativa

Si progetta lo zero (la sua posizione in frequenza) in modo da recuperare, per $\omega_c, \omega_{\text{cdes}} = 500 \text{ rad/s}$, $\approx 40 \text{ dB}$ (e 90°).

$$\left. \frac{\omega}{\omega_{\text{zpi}}} \right|_{\omega=\omega_{\text{cdes}}} = 10^2 \rightarrow \omega_{\text{zpi}} = \frac{500}{10^2} = 5 \text{ rad/s}$$



Per quanto il progetto non sia concluso, la scelta del segno di K_C è stata valida: ora il d. di Nyquist ha questo aspetto, che mostra che le previsioni sul loop shaping saranno state esaudite.

Il progetto non è ultimato: il sistema è stabile, ma certo non soddisfa le specifiche, come si potrebbe osservare sul d. di Nichols (della attuale $G(j\omega)$). Serve una rete derivativa che "corregga" G_d , in modo da non rientrare nelle curve a 10 costante in Nichols.

Al fine di preservare $\omega_c = 500 \text{ rad/s}$, una buona scelta per la velocità sarebbe: $\frac{\omega}{\omega_{2d}} / (\omega_c \omega) = 1$, $M_d = 2$. Come si può osservare da Nichols, tuttavia, buona cosa è avere dei margini, in vista del progetto del controllore digitale. Si sceglie $M_d = 4$, "perdonando" ω_c (verificando a posteriori di essere nei margini).

$$\frac{\omega_c}{\omega_{2d}} = 500, M_d = 4 \rightarrow \omega_{pd} = 2000 \text{ rad/s.}$$

Dal diagramma di Bode, si può vedere che, allo stato attuale:

$$\omega_c = 577 \text{ rad/s}$$

Quindi rientra nei bound prima espressi.

~~3) |Kc|~~

Si ricorda che vige una specifica su $|G_d(j\omega)|$ per $\omega = 10 \text{ rad/s}$.

allo stato attuale, per $\omega = 10 \text{ rad/s}$, $G(j\omega) = 36, 43 \text{ dB}$.

Per avere almeno 40 dB , è necessario traslare verso l'alto, modificando $|K_d|$ (attualmente, $|K_d| = 1$). Per aumentare di 6 dB , si raddoppia K_d , portandolo a 2^2 : $K_d = +2$.

4) Correzione sul progetto

La correzione su $|K_d|$ ha comportato una traslazione verso l'alto del diagramma di Nichols. Al fine di ri-ottenere buoni margini, $M_d = 6$.

A questo punto, definitivo, $\omega_c = 110$. Il risultato non rispetta l'upper bound, che comunque è il meno significativo dei due, dunque si può almeno parzialmente ignorarlo.

Il controllore ha un'espressione del tipo:

$$G_C(s) = K_C \cdot \frac{L}{s} \cdot \left(1 + \frac{s}{\omega_{2pi}} \right) \cdot \frac{1 + \frac{s}{\omega_{pd}}}{1 + \frac{s}{\omega_{pd}}} \quad K_C = +2; \quad \omega_{2pi} = 5;$$

$$\omega_{pd} = 500;$$

$$M_d = 6$$

$$\omega_{pd} = 3000.$$

s) Controllore digitale

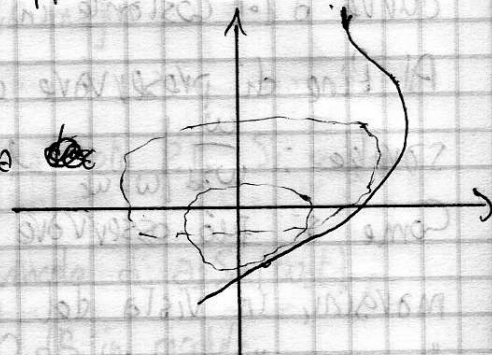
Per $\omega_c = 1110$ rad/s, si usa:

$$\omega_c \cdot T_s = 0,15 \rightarrow T_s = \frac{0,15}{1110} = 0,000135135 \approx 1,35 \text{ ms}$$

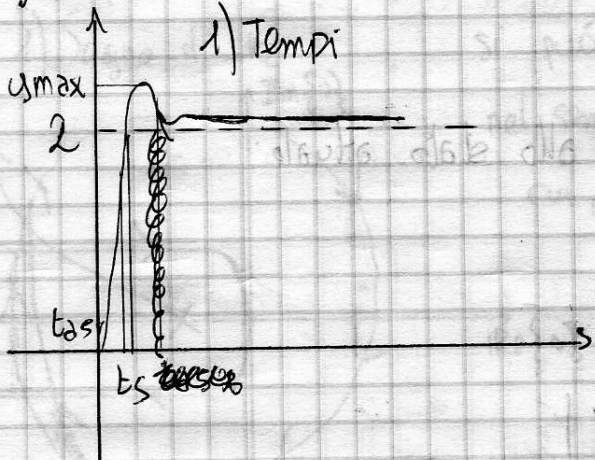
A tale condizione, il diagramma di Nichols del sistema

discreto presenta il seguente andamento:

che dovrebbe garantire la bontà del progetto.



c) Documentazione delle specifiche.



1) Tempi

$$u_{max} = 2,0892; \quad S = \frac{u_{max} - u_\infty}{u_\infty} \cdot 100 = 4,36\%$$

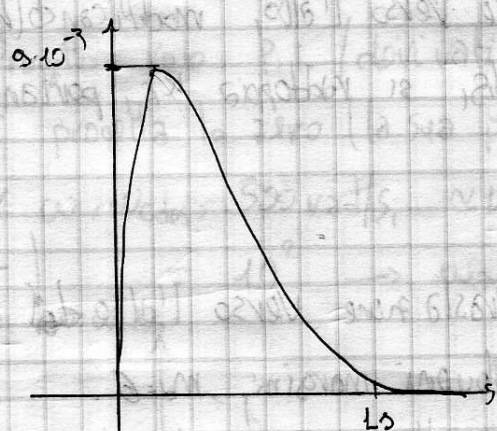
~~$t_{0.5} = 1,568 \text{ ms}$~~

(attraversamento ~~-1,9~~ -1,9)

$$t_S = 1,7862 \text{ ms}$$

Dunque migliori rispetto alle previsioni,
poiché la banda del sistema è aumentata.

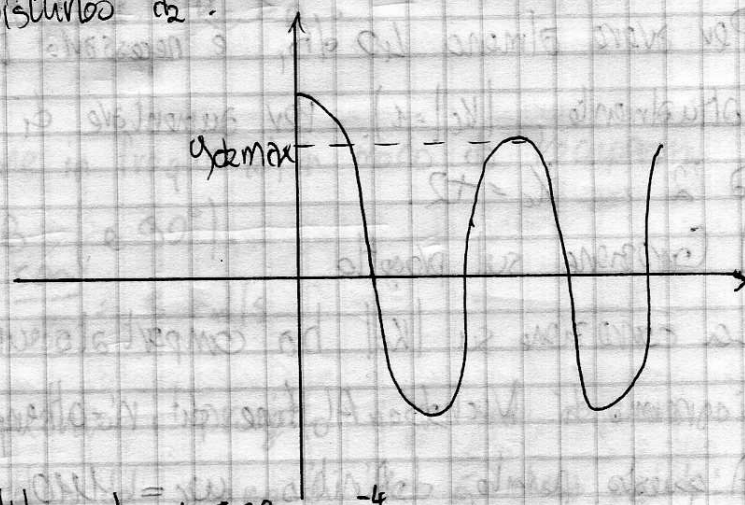
2) Disturbo d₁:



tende a 0.

$$l) u_{max} = 6,1407$$

3) Disturbo d₂:



$$|d_{2max}| = 6,529 \cdot 10^{-4}$$

$$\omega_{dc} \approx 10 \text{ rad/s.}$$

$$f) |u(t)| \leq 3,0106 \cdot 10^{-4}$$

$$T = 0,627 \rightarrow \omega = \frac{2\pi}{T} = 10,02 :$$

essendo tutto lineare non si ha

ovviamente distorsione di armonica.

Si noti che, essendo l'usata di un sistema
discreto, ingrandendo si visualizza la discretizzazione
in modo evidente.

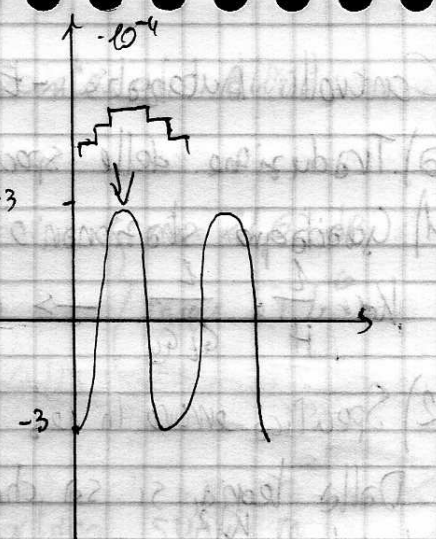
$$e) u_{\max,\infty} = 0,0958 ;$$

$$\frac{2}{0,0958} \text{ dB} = 20,8768 \text{ dB} = 26,39 \text{ dB}$$

Il fatto che l'attenuazione sia bassa è avio, dal momento che il disturbo
è prossimo a ω_c , dove $| \cdot | = 0 \text{ dB} = 1$.

$$g) ?$$

h) Speriamo.



Controlli Automatici - Esercitazione 4, esercizio 3 - ore 12:55

a) Traduzione delle specifiche

1) Guadagno stationario $K_d = 1$:

$$K_d = \frac{L}{H} = \frac{L}{G_p G_t} \rightarrow G_p = \frac{L}{H K_d G_t} = 1$$

2) Specifica errore in reaz perm per rampa unitaria

Dalle teorie si sa che, per la tabella,

$$|e^{r\infty}| = \frac{K_d}{K_V} R_0 \quad (\text{nel caso di rampa (unitaria) presupponendo già da ora che il sistema sia di tipo "i"})$$

Essendo il sistema di tipo "i", avendo $G_p(s)$ un polo in $s=0$, il controllore non introdurrà poli, dunque $V=0$, e $G_c(s) = K_c$.

Si ha che:

$$K_V = \lim_{s \rightarrow 0} s G_p(s) = \lim_{s \rightarrow 0} D \cdot K_c \cdot A \cdot G_p(s) = K_c \cdot 0,006 \cdot \frac{-30}{2} = -0,09 K_c$$

$$\rightarrow \frac{1}{0,09 K_c} = 2,3 \cdot 10^{-2} \rightarrow K_c \geq \frac{1}{2,3 \cdot 10^{-2}}$$

3) Sfruttando il fatto che $e^{d_1\infty} = g^{d_1\infty}$, si quantifica K_c a partire dalla specifica come:

$$g^{d_1\infty} = \lim_{s \rightarrow 0} s \cdot \sqrt{s Y(s)} = \lim_{s \rightarrow 0} s \cdot \frac{G_p(s)}{1 + G_p(s) \cdot A \cdot K_c} \cdot \frac{\sqrt{s}}{\sqrt{s}} = 10^{-2} \rightarrow K_c \geq 41,67$$

4) Analogamente a prima;

$$g^{d_2\infty} = e^{d_2\infty} = \lim_{s \rightarrow 0} s Y^{d_2}(s) = \lim_{s \rightarrow 0} s \cdot \frac{82}{s^2} \cdot \frac{1}{1 + G_p(0) \cdot A \cdot K_c} = 1,5 \cdot 10^{-3}$$

$$\rightarrow \frac{8,5 \cdot 10^{-3}}{-15 \cdot 0,006 \cdot K_c} = 1,5 \cdot 10^{-3} \rightarrow K_c \geq 62,963$$

Si sceglie dunque di avere $K_c \geq 62,963$, dunque $\boxed{K_c = 63}$

5) Dalla carta semilogaritmica si ricavano ω_c, ω_a e i relativi

vincoli per quanto concerne $|T(j\omega)|$: per $\omega = 40 \text{ rad/s}$, $|T(j\omega)| / L \leq 40 \text{ dB}$.

$$\omega_2 = 3,8 \text{ rad/s}, \frac{\omega_2}{2} = 1,9 \text{ rad/s}.$$

Una pulsazione ω_c potrebbe essere 3 rad/s, ma se ne parla dopo.

Dai grafici, si sceglie $\xi = 0,6$; da qui, mediante gli ottimi:
grafici, si ricava che:

$T_{PL} \approx 1,04$; $S_V \approx 1,35$; mediante le formule dunque si ricavano i margini: $\left\{ \begin{array}{l} m_A = 11,67 \text{ dB} \\ m_Q = 57,6^\circ \end{array} \right.$
Si ha una pulsazione ω_c minima pari a 0,65 rad/s
per soddisfare ambo i tempi t_a e t_s .

6) Il riferimento a gradino unitario, K_C e \bar{U} , comportano sugli m il seguente vincolo:

$$\left| \frac{m_A}{m_i} \right| = \frac{\bar{U}}{A_K L_0} = 3d,75$$

b) Progetto del controllore

1) Segno di K_C

Appare evidente che $K_C L_0$ è dal

d. di Nyquist; il loop shaping può essere effettuato solo sulla parte "a sinistra" del grafico, ma essa attualmente contiene solo la crt. di raggio ∞ . Si mostrerà come stabilizzare, con $K_C L_0$, non sarà permesso con $K_C > 0$.

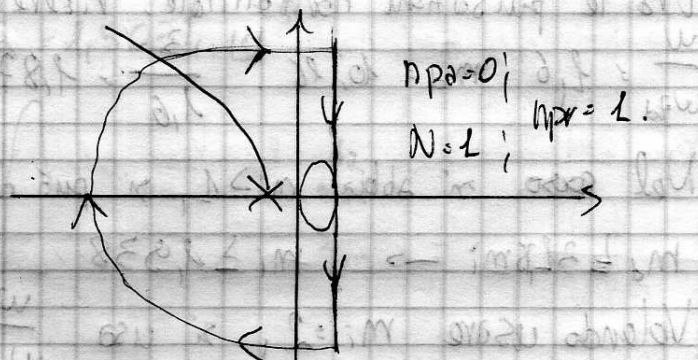
2) Progetto roti

Si sceglie $\omega_{cbs} = 3$ rad/s; questa scelta sarà il riferimento per le reti derivative, ma per ora non si garantisce il fatto che sia "definitiva".

Il primo "tentativo" è: usare $\frac{\omega}{\omega_{z0}} = 2,2$, in modo da sfruttare i "picchi" della rete derivativa per $m \approx 5/6$, quindi limitare l'altività del comando.

$$\frac{\omega_c}{\omega_{z0}} = 1,364; m_d = 5 \rightarrow \omega_{ps} = 6,878 \div 7,684$$

Il risultato è negativo: la forma del diagramma è valida, ma d'altra canto la sua "altezza" no. Modificando K_C si potrebbe terminare il progetto, ma ciò non è possibile senza rovinare il "progetto statico".



Negostante sia una strada se possibile da evitare, a causa dell'effetto coda, sarà necessario introdurre una rete integrativa.

Si noti che non tutto il male viene per nuovoro: con la integrativa si potrà aumentare ma, migliorando i margini.

~~Si fa una stima~~ ~~$m_d = 3,75$~~ ~~con $m_i = 5,1$~~

Si ha
Si ri-progetta la rete derivativa aumentando m_d o "spostandosi a sinistra".
Le pulsazioni normalizzate riferendosi sempre a $\omega_{cav} = 3 \text{ rad/s}$, si sceglie
 $\frac{w}{\omega_{pd}} = 1,6$ $m_d = 10,16$; $\frac{3}{1,6} = 1,875$; $1,875 \cdot 1,6 = 30$.

Nel caso si abbia $m_i > 1$, si può dir che:

$$m_d \leq 3,75 m_i \rightarrow m_i \leq 1,938$$

Vogendo usare $m_i = 2$, si usa $\frac{w}{\omega_{pi}} = 10^2$, quindi $\omega_{pi} = 0,03$,
 $\omega_{zi} = 0,06$:

Si osserva "euristicamente" il seguente fatto: arretrando gli zeri delle reti derivative da 1,875 a 1,5, considerando $m_d = 10$, il sistema soddisfa ancora le specifiche. Questa scelta è dettata da un'eccessiva ~~a~~ valore di $|T(j\omega)|$ per $\omega = 10 \text{ rad/s}$; al metodo sistematico si è aggiunto l'archio del progettista.

Date queste condizioni, si ricava dai d.d. di Bato di Go ~~di~~
 $\omega_c = 2,41 \text{ rad/s}$, ammessa dai bounds.

1)3) Digitalizzazione

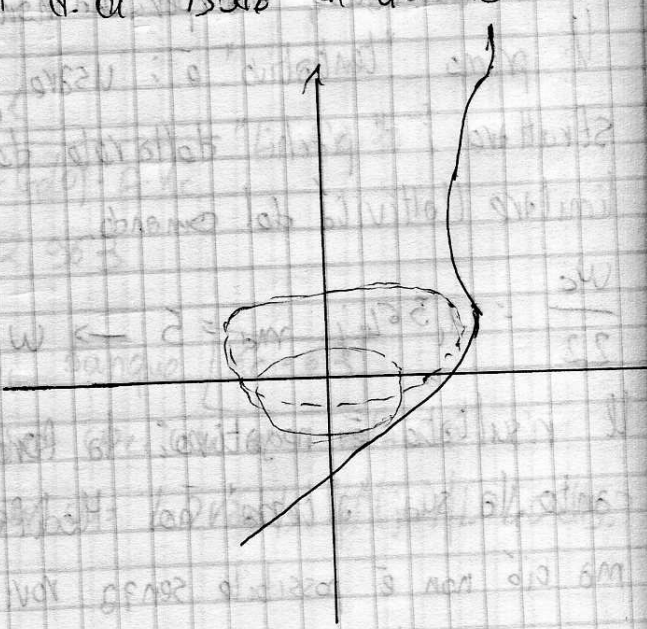
Si sceglie:

$$\omega_c \cdot T_s = 0,1 \rightarrow T_s = \frac{0,1}{\omega_c} = 0,0415 s.$$

Si ricava mediante MATLAB il

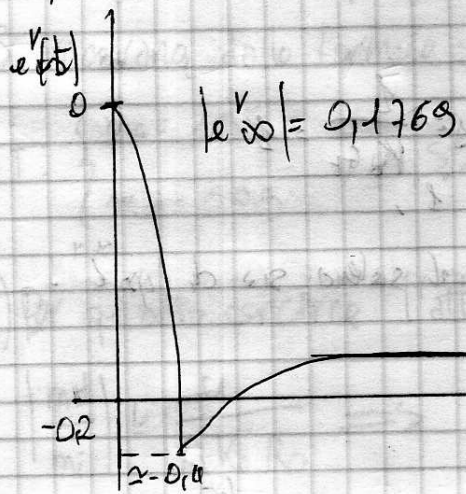
seguente diagramma di Nichols

Che sembra garantire le specifiche.

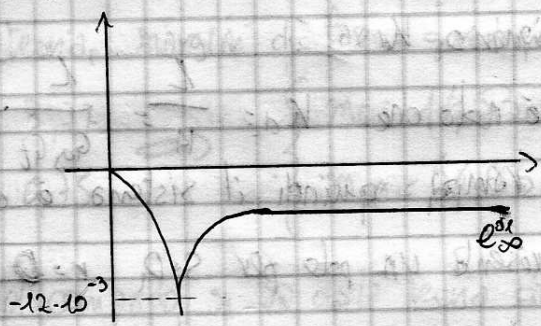


c) Documentazione delle specifiche

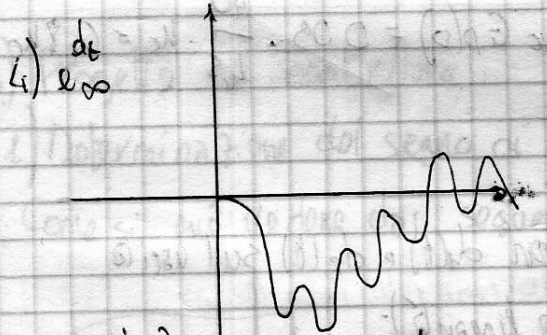
1) Errore sul riferimento:



$$2) \frac{de}{dt} = -6,6327 \cdot 10^{-3}$$



$$3) \frac{d^2e}{dt^2} = 1,5034 \cdot 10^{-3}$$



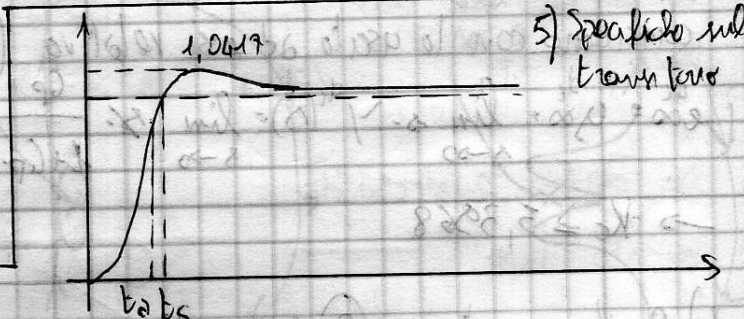
$$\max \{ |e(t)| \} = 3,5905 \cdot 10^{-4}$$

$$T = |1,263 - 1,419| \Rightarrow \frac{2\pi}{T} \approx 40,26 \text{ rad/s}$$

$$\lambda = \frac{1,0417 - \epsilon}{1} \cdot 100 = 4,17 \%$$

$$t_s = 0,8362 \text{ s}; \quad t_{25\%} = t_{0,95} = 0,719 \text{ s}$$

$$u_{\max} = 2,9984$$



Esercitazione L_t - Problema 2 - ore 16:50

a) Traduzione delle specifiche

1) Guadagno stazionario K_d

Dalla teoria è noto che $K_d = \frac{L}{A} = \frac{L}{G_p G_t} \rightarrow G_p = \frac{L}{K_d G_t} = 1$

2) Si parla di rampa, quindi il sistema è di tipo 1.

Poiché $G_p(s)$ presenta un polo per $s=0$, $r=0$ affinché il sistema sia di tipo 1.
 $G_p(s) = K_c$!

A tali condizioni, dalla teoria si può vedere che:

$$|e_{\infty}| = \left| \frac{K_d^2}{K_V} R_0 \right|, \quad K_V = \lim_{s \rightarrow 0} s G_t(s) = \lim_{s \rightarrow 0} s A K_d G_p(s) = 0,05 \cdot \frac{40}{4,5} \cdot K_d = 0,8 K_d$$

$$\rightarrow \frac{1}{0,8 K_d} = 3,5 \cdot 10^{-1} \rightarrow K_d \geq 3,5714$$

3) Dalla teoria si può dire che i contributi degli errori $d_1(t)$ e $d_2(t)$ sull'uscita coincidono con le uscite ad essi relative (grazie alle linearietà):

$$e_{d_2} = y_{d_2} = \lim_{s \rightarrow 0} s \cdot Y_{d_2}(s) = \lim_{s \rightarrow 0} s \cdot \frac{G_p}{1 + G_p \cdot A \cdot K_d} \cdot \frac{Y_1}{s} = \frac{Y_1}{A \cdot K_d} = 1,75 \cdot 10^{-2}$$

$$\rightarrow K_d \geq 5,3868$$

4) Analogamente a ③:

$$e_{d_2} = \lim_{s \rightarrow 0} s \cdot \frac{Y_2}{s^2} \cdot \frac{L}{1 + G_p \cdot A \cdot K_d} = \frac{Y_2}{K_d \cdot A \cdot \frac{40}{4,5}} = 10^{-3} \rightarrow K_d \geq 393$$

5) Per quanto riguarda $d_1(t)$, avendo bisogno di un margine di 20 dB su $|T(j\omega)|_{\omega=30 \text{ rad/s}}$, si può ricavare che:

$$\omega_2 = 4,4 \text{ rad/s}; \quad \omega_1 = 0,4 \text{ rad/s} \rightarrow \frac{\omega_2}{\omega_1} = 2,2 \text{ rad/s.}$$

6) Per quanto riguarda le specifiche sul transitorio, dal grafico si può ricavare uno smorzamento $\xi \approx 0,58$; si sceglie di usare $\xi = 0,6$.

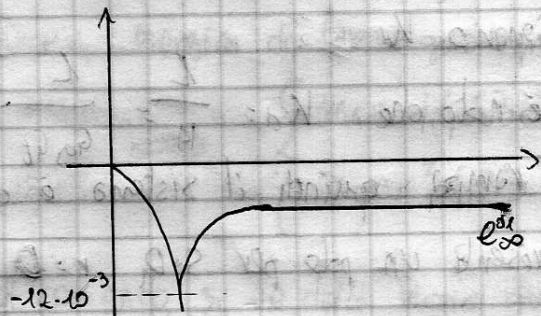
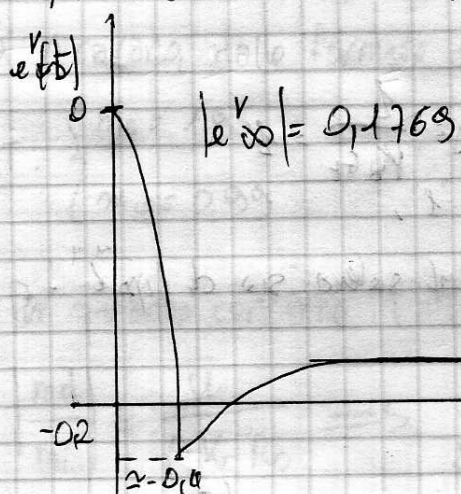
Per tali valori, $T_p \approx 1,03$, $S_r \approx 1,36$.

A questo punto, imponendo le condizioni, si ricavano valori minimi per w_c :

c) Documentazione delle specifiche

1) Errore sul riferimento:

$$2) \epsilon_{\infty}^{d_2} = -6,6327 \cdot 10^{-3}$$



$$4) \epsilon_{\infty}^{d_2}$$

$$3) \epsilon_{\infty}^{d_2} = 1,5034 \cdot 10^{-3}$$

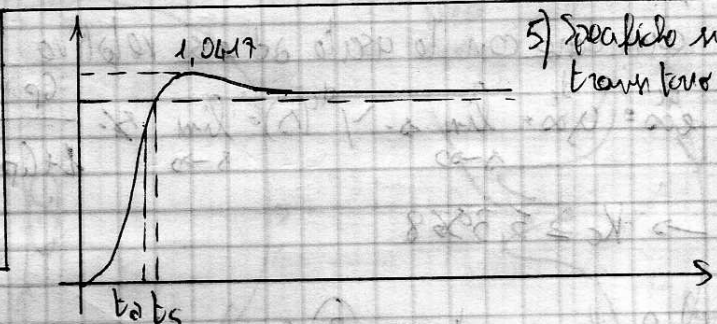
$$\max \{ \epsilon_{\infty}^{d_2} \} = 3,5905 \cdot 10^{-4}$$

$$T = |1,263 - 1,419| \Rightarrow \frac{2\pi}{T} \approx 40,26 \text{ rad/s}$$

$$\zeta = \frac{1,0417 - 1}{1} \cdot 100 = 4,17 \%$$

$$t_s = 0,8362 \text{ s}, \quad t_{95\%} = t_{0,95} = 0,719 \text{ s}$$

$$u_{\max} = 2,9584$$



Esercitazione 4 - Problema 2 - ore 16:50

a) Traduzione delle specifiche

1) Guadagno stazionario K_d

$$\text{Dalla teoria è noto che } K_d = \frac{L}{H} = \frac{L}{G_p G_t} \rightarrow G_p = \frac{1}{K_d G_t} = 1$$

2) Si parla di rampa, quindi il sistema è di tipo "2".

Poiché $G_p(s)$ presenta un polo per $s=0$, $r=0$ affinché il sistema sia di tipo "2"
 $G(s) = K_c$!

A tali condizioni, dalla teoria si può vedere che:

$$|K_{cool}| = \left| \frac{K_d^2}{K_V} R_0 \right|, \quad K_V = \lim_{s \rightarrow 0} s G(s) = \lim_{s \rightarrow 0} s A K_c G_p(s) = 0,03 \cdot \frac{40}{4,5} \cdot K_c = 0,8 K_c$$

$$\rightarrow \frac{1}{0,8 K_c} = 3,5 \cdot 10^{-1} \rightarrow K_c \geq 3,5714$$

3) Dalla teoria, si può dire che i contributi degli errori $d_1(t)$ e $d_2(t)$ sull'uscita coincidono con le uscite ad essi relative (grazie alla linearità):

$$e_{d_1} = y_{d_1} = \lim_{s \rightarrow 0} s \cdot Y_{d_1}(s) = \lim_{s \rightarrow 0} s \cdot \frac{G_p}{1 + G_p \cdot A \cdot K_c} \frac{\gamma_1}{s} = \frac{\gamma_1}{A \cdot K_c} = 1,75 \cdot 10^{-2}$$

$$\rightarrow K_c \geq 5,3333$$

4) Analogamente a ③:

$$e_{d_2} = \lim_{s \rightarrow 0} s \cdot \frac{\gamma_2}{s^2} \cdot \frac{L}{1 + G_p \cdot A \cdot K_c} = \frac{\gamma_2}{K_c \cdot A \cdot \frac{40}{4,5}} = 10^{-3} \rightarrow K_c \geq 393$$

5) Per quanto riguarda $d_1(t)$, avendo bisogno di un margine di 60 dB su $|T(j\omega)|_{\omega=30\text{rad/s}}$, si può ricavare che:

$$\omega_2 = 4,4 \text{ rad/s}; \quad \omega_1 \approx 0,4 \text{ rad/s} \rightarrow \underline{\omega_2} = 2,2 \text{ rad/s}.$$

6) Per quanto riguarda le specifiche sul transitorio, dal grafico si può ricavare uno smorzamento $\xi \approx 0,58$; si sceglie di usare $\xi = 0,5$.

Per tali valori, $T_p \approx 1,03$, $S_r \approx 1,36$.

A questo punto, imponendo le condizioni, si ricavano valori minimi per w_c :

Relativamente a t_s , $\omega \geq 0,49^\circ$ rad/s per t_s , $\omega \geq 0,23$ rad/s.
 Si sceglie il bound più restrittivo, dunque quello per t_s .
 Si ricavano dalle formule visto in teoria, margini di fase e guadagno per TeS:

$$T: \begin{cases} m_\phi = 1,93 \\ m_\theta = 0,99 \end{cases} \quad S: \begin{cases} m_\phi = 3,77 \\ m_\theta = 0,75 \end{cases} \Rightarrow \begin{cases} m_\phi = 11,53 \text{ dB} \\ m_\theta = 56,95^\circ \end{cases}$$

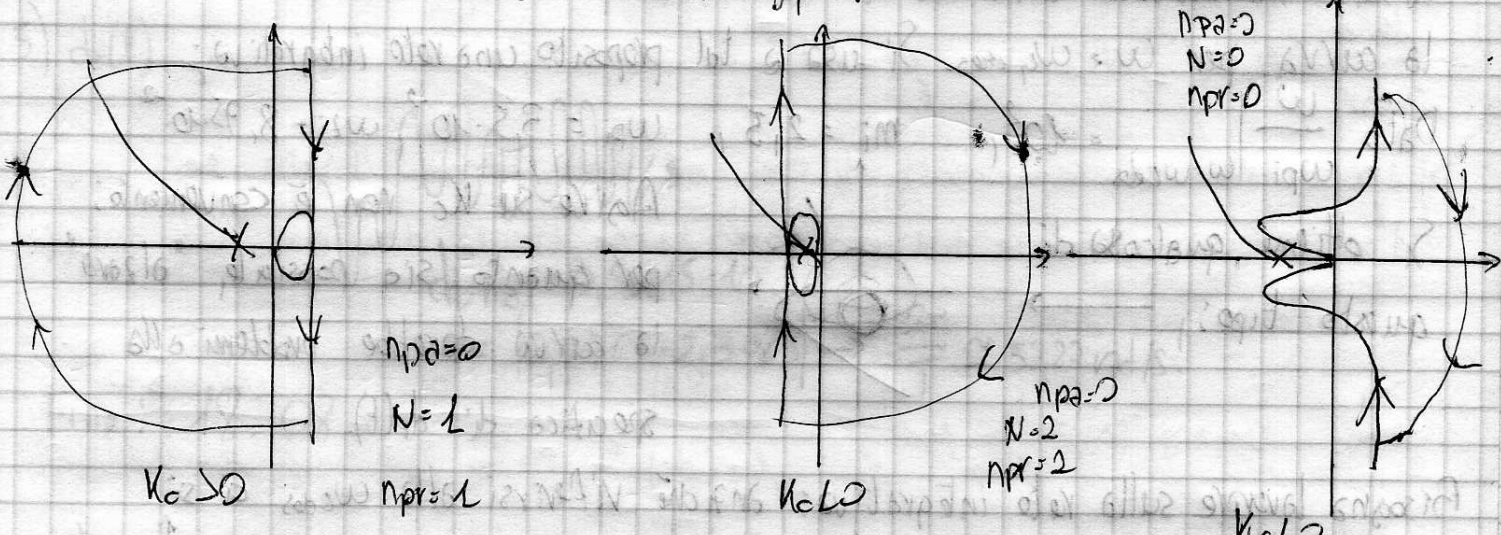
7) Per quanto concerne l'attività del comando, si sa dalla teoria che:

$$\left| \frac{m_d}{m_i} \right| \leq \frac{\bar{u}}{A K_c R_o} \Rightarrow \frac{12}{0,09 \cdot 135} = 24,24.$$

b) Progetto del controllore

1) Determinazione del segno di K_c

Come si può vedere dai seguenti d. di Nyquist:



Solo se $K_c < 0$ il loop shaping può permettere

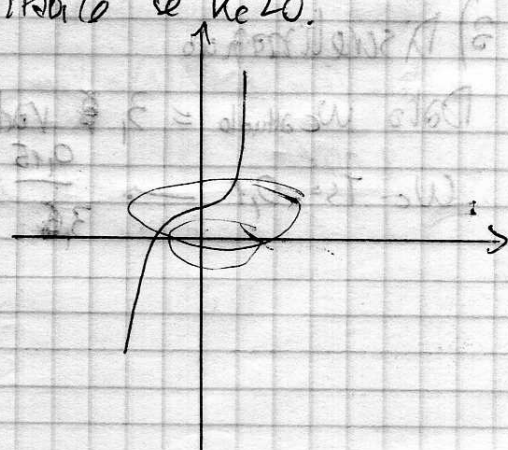
l'annullamento di N , dunque il sistema è instabile stabile se $K_c < 0$.

2) Progetto delle reti

Allo stato attuale il sistema è

instabile; è necessario stabilizzarlo

e per soddisfare le specifiche, evitando che la curva tocchi le curve.



Sì sceglie $\omega_{cdes} = 3,5 \text{ rad/s}$. Perché in essa ci dovrà recuperare da -216° a $-120^\circ = 96^\circ$ (si approssimi a 100°), serviranno 2 reti derivate.

2 reti derivate con $m \geq 5$, richiederanno 2 reti integrative, al fine di essere "compensate" sotto il punto di vista dell'attività del comando. Si dovrà fare inoltre attenzione allo specifico sul progetto strutturale.

Dato $\frac{\omega}{\omega_{zd}} \Big|_{\omega=\omega_{cdes}} \simeq 2 \cdot 10^0 = 2$, si dimensionano le due reti "genelle", come:

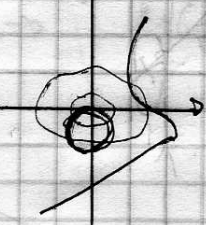
$$\frac{\omega_{cdes}}{\omega_{zd}} : 2 \rightarrow \omega_{zd} = \frac{3,5}{2} = 1,75 \text{ rad/s};$$

Se $M_d = 10 \div 15$, ad esempio $M_d = 16$, si ha su Nichols qualcosa di questo tipo:

Risulta necessario attenuare di circa 7 dB la curva per $\omega = \omega_{cdes}$. Si usa a tal proposito una rete integrativa;

Dato $\frac{\omega}{\omega_{pi}} \Big|_{\omega=\omega_{cdes}} = 10^2$, $m_i = 2,5$, $\omega_{pi} = 3,5 \cdot 10^2$, $\omega_{zi} = 8,75 \cdot 10^{-2}$

Sì ottiene qualcosa di questo tipo: →



Agire su K_c non è conveniente; per quanto sia possibile, "alzare" la curva darebbe problemi alla specifica di $d_r(t)$.

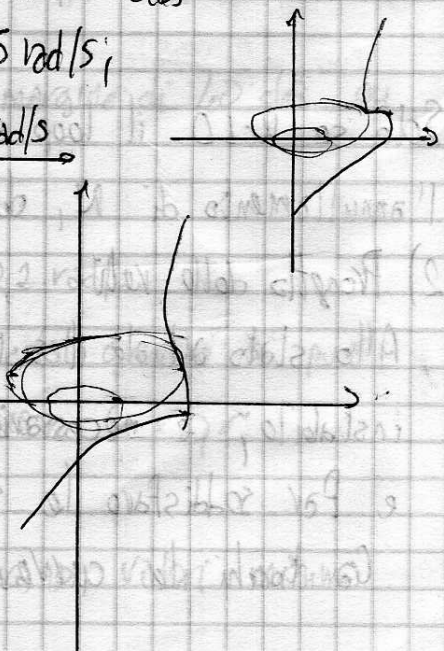
Bisogna lavorare sulla rete integrativa: anziché riferirsi alla ω_{cdes} si riferisce alla ω_c attuale, pari (da d. d. Bode) a $6,5 \text{ rad/s}$;

$$\omega_{pi} = \frac{6,5}{10} = 0,65 \text{ rad/s}; \quad m_i = \frac{12}{10} \rightarrow \omega_{zi} = 0,12 \text{ rad/s}$$

3) Discretizzazione

Dato $\omega_{cattuale} = 3,5 \text{ rad/s}$, dato

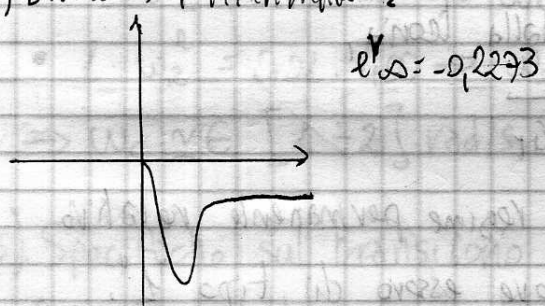
$$\omega_c \cdot T_s = 0,1 \rightarrow \frac{0,15}{3,5} = 0,0429 > T_s.$$



A questo punto impongo i condizioni sull'andamento della curva.

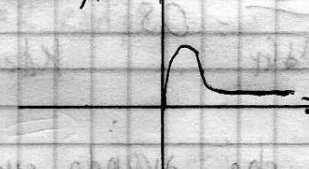
Documentazione delle prestazioni

1) Errore sul riferimento ξ

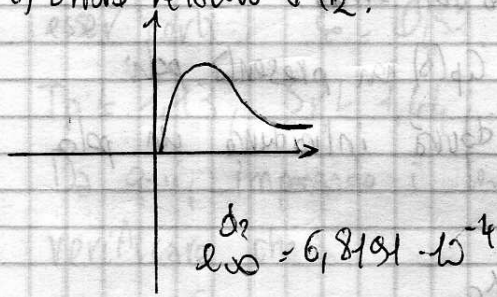


2) Errore relativo
a $d_{t(t)}$:

$$e_{\infty}^{d_t} = 0,0172$$



3) Errore relativo a d_2 :



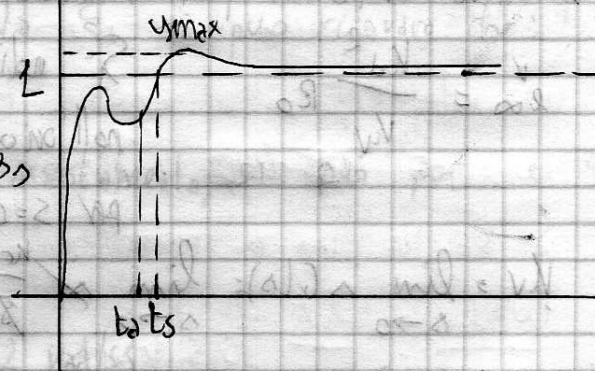
4) Specifiche
sul Transistor:

$$u_{max} = 1,0181$$

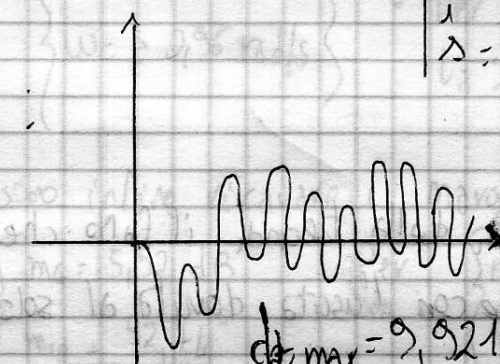
$$t_d = t_{0,95} = 1,8359 s$$

$$t_s = 2,9695 s$$

$$\lambda = 1,81 \%$$



5) $d_t(t)$:



$$d_{t max} = 9,9215 \cdot 10^{-5}$$

$$T = |2,2762 - 2,3989| \rightarrow \frac{2\pi}{T} \approx 52,29 \text{ rad/s!}$$

Fine: 18:08

Esercitazione 07 - ore 13:10

a) Traduzione delle specifiche

$$1) K_d = 4 \rightarrow G_d = \frac{L}{K_d G_T} = 0,5 \quad \text{Come si sa dalla teoria, } \\ K_d = \frac{1}{H} = \frac{L}{G_d G_T}$$

2) Dalla teoria, si sa che, avendo un errore a regime permanente relativo a una rampa finita non nulla, il sistema deve essere di tipo "I".

Dalla tabella si può ricavare la seguente espressione dell'errore:

$$v_{\infty} = \frac{K_d^2}{K_V} R_0$$

Sì noti inoltre che, poiché $G_p(s)$ non presenta poli nell'origine, il controllore dovrà introdurre un polo per $s=0$, $\Rightarrow G_C(s) = \frac{K_c}{s}$.

$$K_V = \lim_{s \rightarrow 0} \Delta G(s) = \lim_{s \rightarrow 0} \cancel{s} \frac{K_c}{\cancel{s}} \cdot G_p(s) \cdot A = 0,13 K_c$$

$$\hookrightarrow \frac{18^2 L}{0,13 K_c} \cdot 0,25 = 1,2 \rightarrow K_c \geq 22,2$$

3) Per quanto riguarda $d_1(t)$, si considera, dalla teoria, il fatto che l'errore dovuto a ciascun disturbo coincide con l'uscita, dovuta al solo disturbo, escludendo gli altri ingressi.

$$e_{\infty}^{d_1} = \lim_{s \rightarrow 0} s Y^{d_1}(s) = \lim_{s \rightarrow 0} \cancel{s} \cdot \frac{Y_1}{\cancel{s}} \cdot \frac{G_p(s)}{K + G_p(s) \cdot \frac{K_c}{s} \cdot A \cdot G_d \cdot G_T} = \frac{Y_1 \cdot 18 \cdot 10^{-3}}{K \cdot K_c \cdot 0,1 \cdot 0,25} \\ = \frac{1,5 \cdot 10^{-3}}{0,025 K_c} = 1,6 \cdot 10^{-3} \rightarrow K_c \geq 37,5$$

4) Stesse considerazioni di prima, per $d_2(t)$:

$$e_{\infty}^{d_2} = \lim_{s \rightarrow 0} s Y^{d_2}(s) = \lim_{s \rightarrow 0} s D_2(s) \cdot \Delta g(s) = \lim_{s \rightarrow 0} s \cdot \frac{\cancel{s}}{\cancel{s}} \cdot \frac{1}{K + G_p(s) \frac{K_c}{s} A G_d G_T} = \\ = \frac{8 \cdot 10^{-2}}{1,5 \cdot 0,1 \cdot 0,25 K_c} = 16 \rightarrow K_c \geq 21,3$$

5) Per quanto concerne $d_t(t)$, si può vedere che:

- $l \cdot \omega_L = 0,01 \cdot 20 \rightarrow \omega_L = 0,2 \text{ rad/s}$

- $l \cdot \omega_2^e = 0,01 \cdot 400 \rightarrow \omega_2 = \sqrt{4} = 2 \text{ rad/s}$

$$\rightarrow \omega_c \approx [l \div 2] \text{ rad/s}$$

6) Specifiche sul transitorio

A partire dalla sovrad. del 15%, si ricava un $\xi_{\min} \approx 0,51$; per esser "certi", $\xi = 0,52$. Dai grafici, imposta ξ , si può ricordare che:

$$T_p \leq 1,13; S_r \leq 1,44$$

Da qui, imponendo i tempi di salita e di assottamento, si può poi verificare che:

- Per $t_s: \left\{ \omega_c \geq 0,96 \text{ rad/s} \right\}$
- Per $t_a: \left\{ \omega_c \leq 1,12 \text{ rad/s} \right\}$

$\xrightarrow{\text{vincolo più restrittivo}}$

Si possono infine ricavare i margini di guadagno e fase da T e S :

$$\text{Per } \left\{ m_g = 5,52 \text{ dB} \right.$$

$$T_{p0}: \left\{ m_g = \underline{52,76^\circ} \right.$$

$$\text{Per } \left\{ m_g = 10,29 \text{ dB} \right.$$

$$S_{r0}: \left\{ m_g = 40,62^\circ \right.$$

Si può inoltre, fissato $|K_c| = 38$, ricavare:

$$\left| \frac{m_d}{m_i} \right| \leq \frac{1000}{A K_c R_0} = 12,632$$

b) Progetto del controllore

a) Segno di K_c

Dal diagramma di Nyquist si ha la verifica

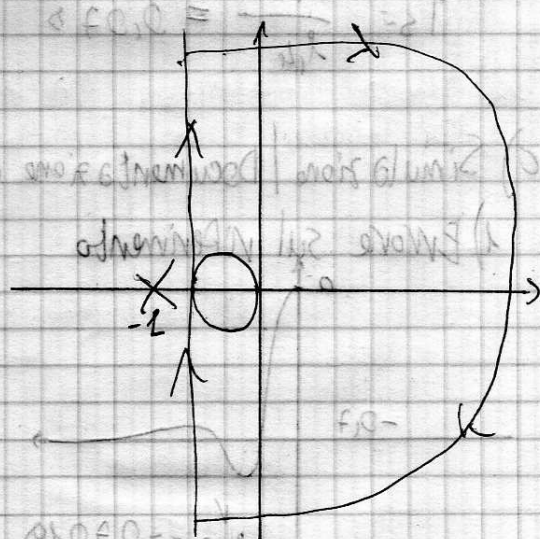
Verifica del fatto che il sistema allo

stato attuale, è già stabilizzato. Bisogna

solo soddisfare le specifiche di progetto.

Con $K_c > 0$ il sistema è stabile, dunque ciò è

sufficiente per procedere.



2) Progetto della rete

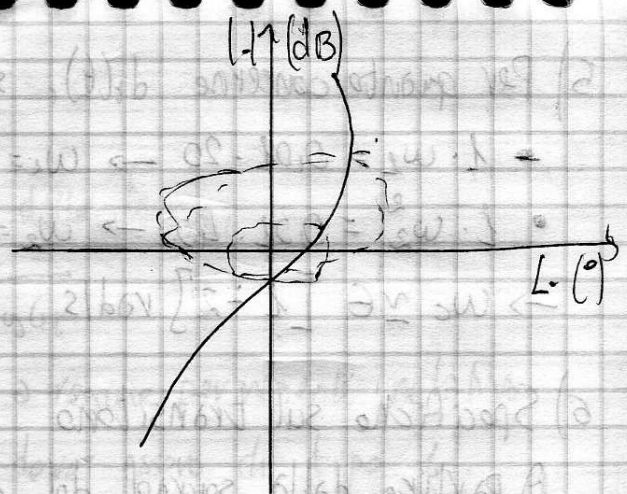
Allo stato attuale il sistema

si può presentare mediante questo

diagramma di Nichols che

conferma ciò che è stato

sopra detto.



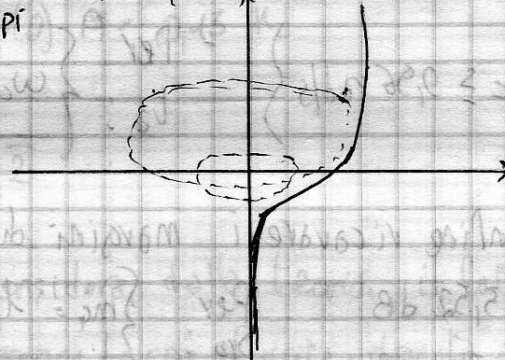
Poiché vi è uno zero per $s=0$ in K_G ($r=l$), si può introdurre una rete P.I.. Si sceglie come pulsazione ω_{cdes} ,

$\omega_{cdes} \approx \frac{1,4}{\text{rad/s}}$, con ovviamente possibilità di errore,

Si sceglie una p. normalizzata $\frac{\omega}{\omega_{zpi}} = 2,8$, con $\omega_{cdes} = 1,4$.

$$\frac{\omega_{cdes}}{\omega_{norm}} = \frac{1,4}{2,8} = 0,5 \text{ rad/s.}$$

Con tale rete il d. di Nichols è il seguente:

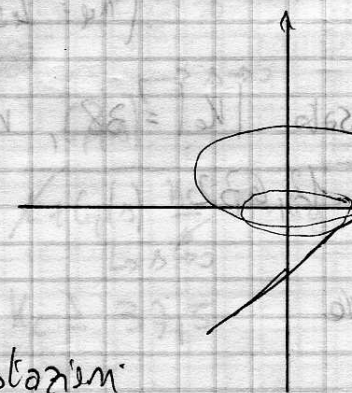


3) Discretizzazione

Dato $\omega_c \cdot T_s = 0,1$, si ricava T_s

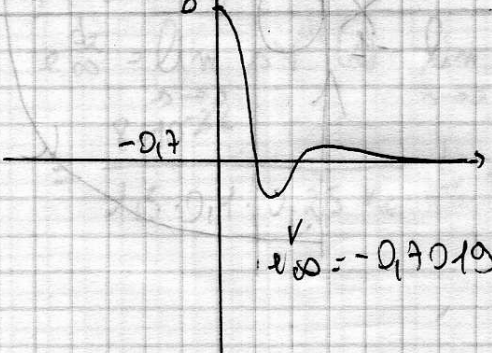
Come:

$$T_s \approx \frac{0,1}{1,4} \approx 0,07 \rightarrow$$

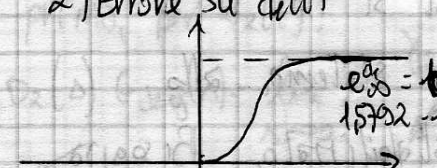


c) Simulazione / Documentazione delle prestazioni

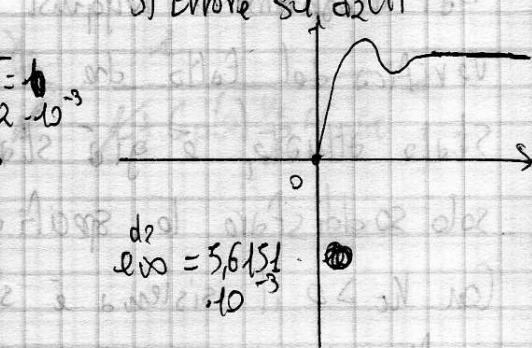
1) Errore sull'perimento



2) Errore su $d_1(6)$

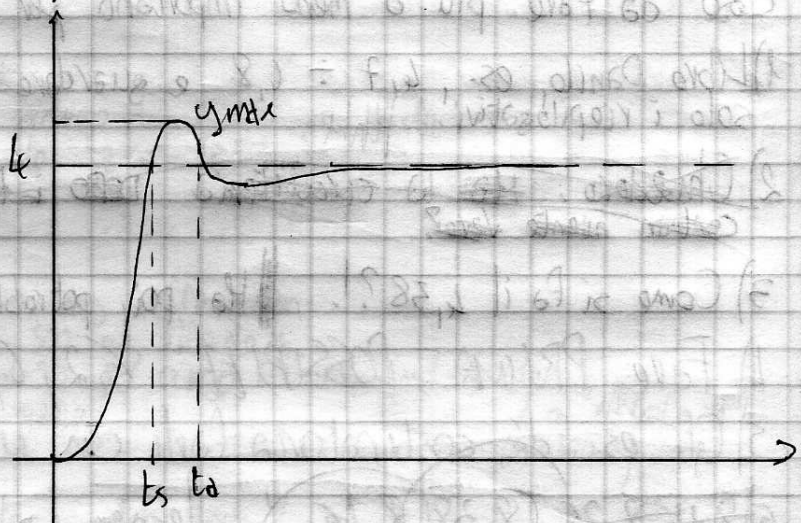
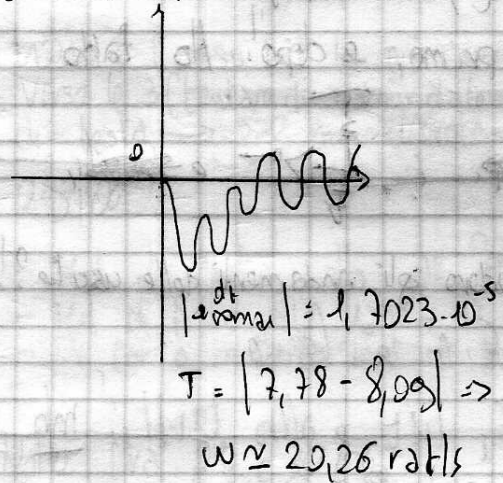


3) Errore su $d_2(1)$



5) Specifiche sul transitorio

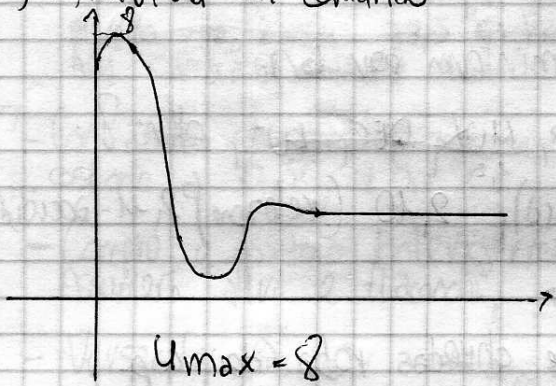
6) Emore se $dt(t)$



$$t_s = 1,45k \rightarrow; t_d = 2,5919 \rightarrow$$

$$y_{\text{max}} = 4,3634 \rightarrow \frac{y_{\text{max}} - y_{\infty}}{y_{\infty}} \cdot 100 = 9,135\%$$

6) Altitudine del comando



$$\text{e)} \quad u_{\text{max}} = A K_c \cdot \frac{1}{\omega_{2\pi}} \cdot R_0 = 0,1 \cdot 2 \cdot 38 = 7,6$$

$$\text{f)} \quad u_{\text{max}}^{\text{d2}} = \frac{G_a \cdot K_c \cdot \frac{1}{\omega_{2\pi}} \cdot A}{1 + G_a} = \frac{3,8}{1 + G_a(0)}$$

$$= 3,8 \cdot |S(\frac{1}{20})| \cdot 0,1$$

ore 14:27